

Unfall zwischen Auto und Lastwagen



Am Montag, 19. Dezember 2022 ist es Heiden zu einem Verkehrsunfall zwischen einem Personenwagen und einem Lastwagen gekommen. Der Autofahrer wurde ins Spital überführt. Es entstand Sachschaden.

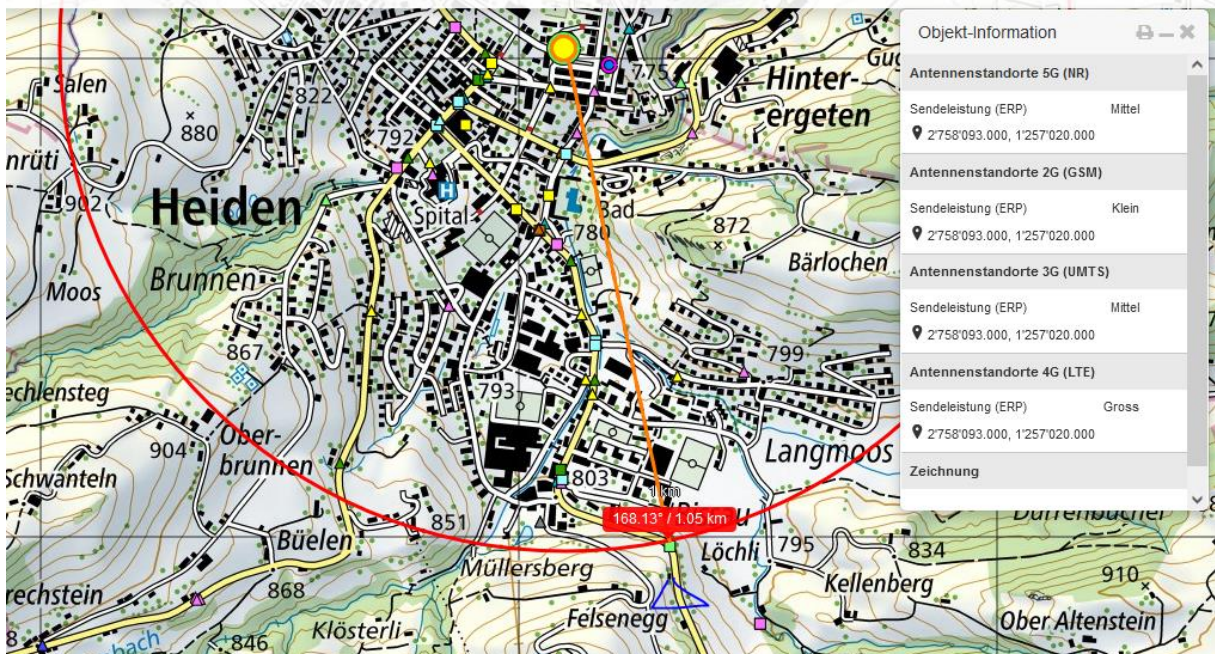
Um 09.00 Uhr fuhr ein 78-jähriger Automobilist auf der Hauptstrasse von Oberegg in Richtung Heiden. In der Linkskurve unterhalb Felsenegg geriet der Autofahrer mit dem Fahrzeug über den rechten Fahrbahnrand und touchierte die Leitplanke. Anschliessend fuhr der Wagen der Leitplanke entlang und stiess anschliessend gegen die Mauer am linken Fahrbahnrand. Das Auto setzte die Fahrt immer noch fort und prallte in der Folge seitlich mit einem entgegenkommenden Lastwagen zusammen. Einige Meter später kam das beschädigte Auto schliesslich zum Stillstand. Der Autofahrer wurde durch den Rettungsdienst mit Verdacht auf ein medizinisches Problem ins Spital gebracht. Der Lastwagenführer blieb unverletzt. Am Auto entstand Totalschaden. Der Schaden am Lastwagen und der Strasseninfrastruktur wird auf über zehntausend Franken geschätzt. Die genauen Umstände des Unfallherganges werden durch Spezialisten der Verkehrspolizei Appenzell Ausserrhoden abgeklärt.

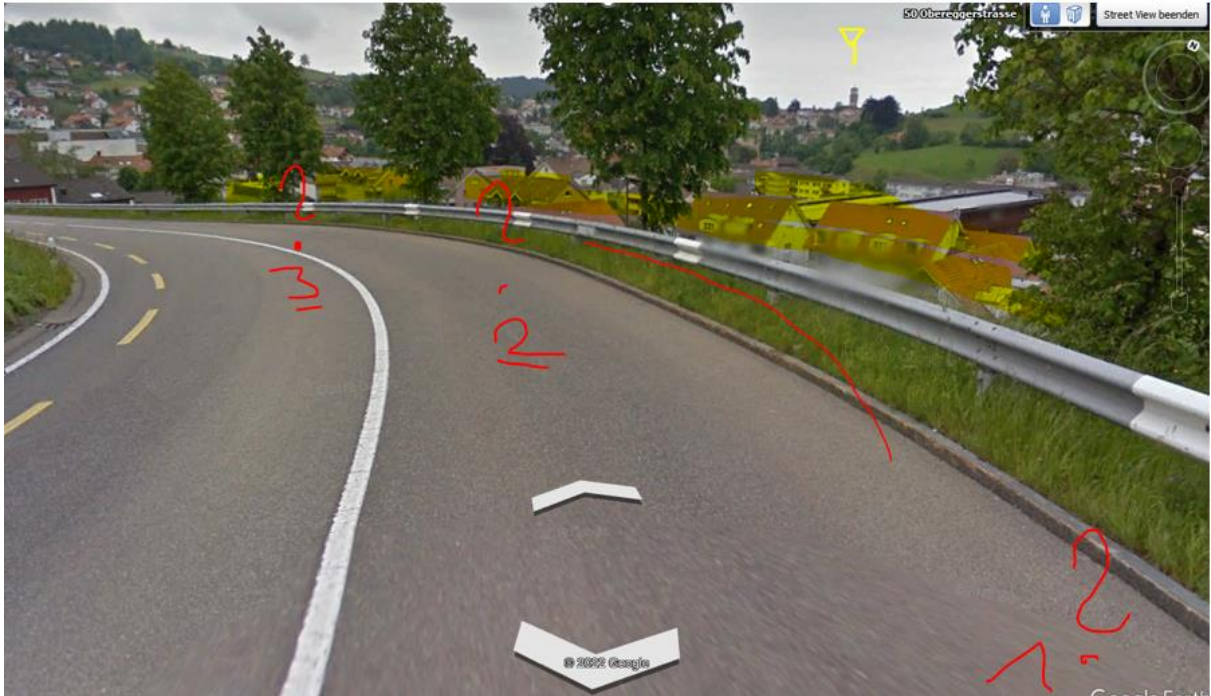


https://www.ar.ch/verwaltung/departement-inneres-und-sicherheit/kantonspolizei/medienmitteilungen-der-kantonspolizei/detail/news/unfall-zwischen-auto-und-lastwagen/?no_cache=1&tx_news_pi1%5Bcontroller%5D=News&tx_news_pi1%5Baction%5D=detail&cHash=f112270de5f26032c4cbb6f7d9a7c375

Elektrosmog im Unfallablauf

Die Fahrt war zuletzt frontal exponiert zum Sender im Kirchturm Heiden





Anfahrstrecke fast linear. Anfrage an Kapo AR nach dem ersten Aufprall:

Die Abkommen von der Fahrbahn und die Kollision mit der Leitplanke dürfte nach den mir vorliegenden Bildern zwischen den Ziffer 1 und 2 stattgefunden haben.

Der Lenker des LKW hat ihn erkannt - und ist ausgewichen.



Sendedaten auf Anfrage bei der NIS-Fachstelle

PLZ, Ort: 9410 Heiden

Koordinaten: 758 093 / 257 020 / 808.19

Parzellen-Nr/
Baurecht Nr.: 1 /

Beschreibung: Antennenanlage in Kirchturm

Zusatzblatt 2: Technische Angaben zu den Sendeantennen für Mobilfunk und drahtlose Teilnehmeranschlüsse

Höhenkote 0: 808.19

Laufnummer #	1	2	3	4	5	6	7	8	9	10
Nr. der Antenne	A_SRLW	B_SRLW	C_SRLW	D_SRLW	A_SRHI	B_SRHI	C_SRHI	D_SRHI	A_SR36	B_SR36
Frequenzband (in MHz)	700 - 900	700 - 900	700 - 900	700 - 900	1800 - 2600	1800 - 2600	1800 - 2600	1800 - 2600	3600	3600
Netzbetreiber	Sunrise	Sunrise	Sunrise	Sunrise	Sunrise	Sunrise	Sunrise	Sunrise	Sunrise	Sunrise
Typenbezeichnung der Antenne	A094519R2v06	A094519R2v06	A094519R2v06	A094519R2v06	A094519R2v06	A094519R2v06	A094519R2v06	A094519R2v06	A094519R2v06	A094519R2v06
Distanz (x/y) zum Koordinaten-Nullpunkt (in m)	0.00 / 0.00	3.00 / -4.00	-0.70 / -7.50	-4.00 / -3.00	0.00 / 0.00	3.00 / -4.00	-0.70 / -7.50	-4.00 / -3.00	0.00 / 0.00	3.00 / -4.00
Höhe der Antenne (z) über Höhenkote 0 (in m)	24.25	24.25	24.25	24.25	24.25	24.25	24.25	24.25	24.25	24.25
ERP _s : Sendeleistung (in W)	280	250	280	150	732	600	700	700	400	150

Hauptstrahlrichtung

Azimet (in Grad von N)	10°	100°	190°	280°	10°	100°	190°	280°	10°	100°
Mechanischer Neigungswinkel (down tilt, in Grad von der Horizontalen)	8° - -4°	2° - -4°	2° - -7°	8° - -1°	8° - -4°	2° - -4°	2° - -7°	8° - -1°	8° - -4°	2° - -4°
Elektrischer Neigungswinkel (down tilt, in Grad)	-2°	-2°	-2°	-2°	-2°	-2°	-2°	-2°	-2°	-2°
Gesamter Neigungswinkel (down tilt, in Grad von der Horizontalen)	6° - -6°	0° - -6°	0° - -9°	6° - -3°	6° - -6°	0° - -6°	0° - -9°	6° - -3°	6° - -6°	0° - -6°

Relevant für die Ermittlung des Einspracheperimeters sind die Antennen im Sektor von 280° bis 10°

ERP_{Sektor}: Summierte Sendeleistung der Antennen in diesem Sektor: 5282 W

AGW: Anlegengrenzwert: 5 V/m

Maximale Distanz für die Einspracheberechtigung:

$$d_{\text{Einsprache}} = \frac{70}{AGW} \cdot \sqrt{ERP_{\text{Sektor}}} =$$

1017 m

Zu übertragen in Ziffer 6 des Hauptformulars

Zusatzblatt 2: Technische Angaben zu den Sendeantennen für Mobilfunk und drahtlose Teilnehmeranschlüsse

Höhenkote 0: 808.19

Laufnummer #	11	12	13	14	15	16	17	18	19	20
Nr. der Antenne	C_SR36	D_SR36	1STK	2STK	3STK	4STK	1STE	2STE	3STE	4STE
Frequenzband (in MHz)	3600	3600	800	800	800	800	900	900	900	900
Netzbetreiber	Sunrise	Sunrise	Salt	Salt	Salt	Salt	Salt	Salt	Salt	Salt
Typenbezeichnung der Antenne	A094519R2v06	A094519R2v06	K742226V01_800	K742226V01_800	K742226V01_800	K742226V01_800	K742226V01_900	K742226V01_900	K742226V01_900	K742226V01_900
Distanz (x/y) zum Koordinaten-Nullpunkt (in m)	-0.70 / -7.50	-4.00 / -3.00	0.00 / 0.00	3.00 / -4.00	-0.70 / -7.50	-4.00 / -3.00	0.00 / 0.00	3.00 / -4.00	-0.70 / -7.50	-4.00 / -3.00
Höhe der Antenne (z) über Höhenkote 0 (in m)	24.25	24.25	24.15	24.15	24.15	24.15	24.15	24.15	24.15	24.15
ERP _s : Sendeleistung (in W)	325	300	150	150	150	150	292	292	292	292

Hauptstrahlrichtung

Azimet (in Grad von N)	190°	280°	10°	100°	190°	280°	10°	100°	190°	280°
Mechanischer Neigungswinkel (down tilt, in Grad von der Horizontalen)	2° - -7°	8° - -1°	0° - -10°	0° - -3°	0° - -6°	0° - -3°	0° - -10°	0° - -3°	0° - -6°	0° - -3°
Elektrischer Neigungswinkel (down tilt, in Grad)	-2°	-2°	0°	0°	0°	0°	0°	0°	0°	0°
Gesamter Neigungswinkel (down tilt, in Grad von der Horizontalen)	0° - -9°	6° - -3°	0° - -10°	0° - -3°	0° - -6°	0° - -3°	0° - -10°	0° - -3°	0° - -6°	0° - -3°

Relevant für die Ermittlung des Einspracheperimeters sind die Antennen im Sektor von ° bis °

ERP_{Sektor}: Summierte Sendeleistung der Antennen in diesem Sektor: W

AGW: Anlegengrenzwert: V/m

Maximale Distanz für die Einspracheberechtigung:

$$d_{\text{Einsprache}} = \frac{70}{AGW} \cdot \sqrt{ERP_{\text{Sektor}}} =$$

m

Zu übertragen in Ziffer 6 des Hauptformulars

In Sektor 190° kumulierte Sendeleistung konventionell 1222 W erp

In Sektor 190° (deklarierte) Sendeleistung 3600 mHz adaptiv 325 W erp

Die eigentliche Sendeleistung ist wahrscheinlich 5-10 x höher.

Zum Verständnis der Abläufe bei solchen Unfällen:

Niels Kuster et al. **NFP 57**: http://www.snf.ch/SiteCollectionDocuments/nfp/nfp57/nfp57_synthese_d.pdf
[Mobilfunk bewirkt Veränderungen der Hirnströme](#)

M. Mevissen / D. Schürmann: Manmade Electromagnetic Fields and Oxidative Stress—Biological Effects and Consequences for Health. <https://www.mdpi.com/1422-0067/22/7/3772>

«Der unklare Unfall in der Verkehrsmedizin» (AGU-Seminar 2015) Dr. Ulfert Grimm Fachbereich Verkehrsmedizin Institut für Rechtsmedizin St.Gallen <http://aqu.ch/1.0/pdf/aqu-seminar15.pdf>

«Wirkungen des Mobil- und Kommunikationsfunks» Eine Schriftenreihe der Kompetenzinitiative zum Schutz von Mensch, Umwelt und Demokratie e.V.

<https://www.diagnose-funk.org/publikationen/dokumente-downloads/kompetenzinitiative-broschuerenreihe>

Wirkungen von Elektrosmog auf Verkehrsunfälle: <https://www.hansuelistettler.ch/elektrosmog/elektrosmog-im-verkehr/studie>

Keine Messung von Sendeleistungen 5G: <https://www.gigahertz.ch/5g-alarmierende-resultate-erster-testmessungen/>

Funktionsweise von 5G-Antennen: "Understanding Massive MIMO in roughly 2 minutes": <https://www.youtube.com/watch?v=XBb481RNqGw>

Zum Thema Herzrhythmus hat Prof. Magda Havas, Trent University, publiziert: <https://magdahavas.com/electrosmog-exposure/home-environment/new-study-radiation-from-cordless-phone-base-station-affects-the-heart/> Zusammenfassung im emf-portal: <https://www.emf-portal.org/de/article/18905>

Magnetfelder unter Hochspannungsleitungen: <https://www.bfs.de/SharedDocs/Videos/BFS/DE/emf-stromleitung.html>

Hansueli Stettler. Bauökologie. Funkmesstechnik. Lindenstrasse 132. 9016 St. Gallen. www.hansuelistettler.ch. info@hansuelistettler.ch